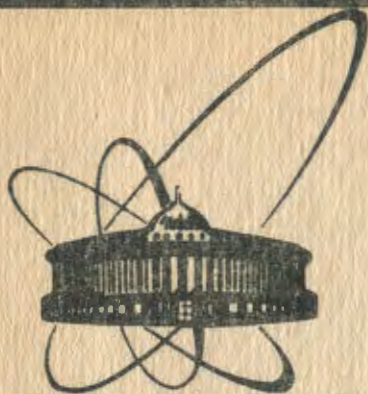


89-16



сообщения  
объединенного  
института  
ядерных  
исследований  
дубна

P10-89-16

Н.М.Никитюк

БЫСТРЫЕ АЛГОРИТМЫ  
ДЛЯ КООРДИНАТНЫХ ПРОЦЕССОРОВ  
В ПОЛЕ ГАЛУА  
ДЛЯ МНОЖЕСТВЕННОСТИ  $t = 4,5$  И  $t > 5$

1989

## 1. ПОСТАНОВКА ЗАДАЧИ

В работе<sup>/1/</sup> были описаны быстрые методы решения определителей 1 ÷ 4-го порядков и координатных уравнений второй и третьей степени в поле Галуа  $GF(2^m)$ , используемые для построения мажоритарных схем совпадений и специализированных процессоров для спектрометров физики высоких энергий.

При этом рассматривались методы решения при множественности  $1 < t \leq 3$ . Как это следует из ряда работ по теории алгебраического кодирования<sup>/2,3/</sup>, методы табличного решения уравнений второй и третьей степени являются базовыми для аппаратного решения уравнений четвертой и пятой степени. В данной работе алгоритмы для решения уравнений для  $t = 4$  и 5 представлены таким образом, что для запоминания таблиц решений достаточно использовать быстродействующие ППЗУ и ПЛИМ, содержащие 2швходов для переменных.

Координаты сработавших позиционно-чувствительных датчиков многоканального детектора заряженных частиц находятся из уравнений

$$\sigma(X) = X^t + \sigma_1 X^{t-1} + \sigma_2 X^{t-2} + \dots + \sigma_t. \quad (1)$$

В свою очередь, связь между симметрическими функциями  $S_j$ , которые по существу представляют собой код синдрома, содержащего в себе информацию как о количестве сработавших датчиков, так и об их координатах, и элементарными симметрическими функциями описывается с помощью уравнений Ньютона<sup>/4,5/</sup>

$$\begin{bmatrix} S_1 & 1 & 0 & 0 & \dots & 0 \\ S_3 & S_2 & S_1 & 1 & & \\ \vdots & & & & \ddots & \\ \vdots & & & & & \ddots \\ S_{2t-3} & & & & & \end{bmatrix} \begin{bmatrix} 1 \\ \sigma_1 \\ \sigma_2 \\ \vdots \\ \sigma_t \end{bmatrix} \quad (2)$$

С использованием метода трансформации переменных<sup>/4/</sup> в работе<sup>/1/</sup> получены следующие соотношения для множественности  $t = 4$  регистрируемых сигналов:

$$\sigma_3 = R_3 + R_1 \sigma_2, \quad (3)$$

$$\sigma_4 = \frac{R_7 + R_5 \sigma_2}{R_3},$$

причем значения  $R_1 - R_{11}$  равны<sup>/5/</sup>

$$R_1 = S_1,$$

$$R_3 = S_3 + S_1^2 S_1,$$

$$R_5 = S_5 + S_1^2 S_3,$$

$$R_7 = S_7 + S_1^2 S_5 + S_1 S_3^2 + S_1^7,$$

$$R_9 = S_9 + S_1^2 S_7 + S_3^3 + S_1^6 S_3,$$

$$R_{11} = S_{11} + S_1^2 S_9 + S_3^2 S_5 + S_1^6 S_5 + S_1 S_5^2 + S_1^5 S_3^2.$$

Наиболее трудоемким является процесс вычисления элементарных симметрических функций  $\sigma_t$ . Однако метод трансформации переменных<sup>/1,4/</sup> позволяет по найденному значению  $\sigma_2$ , которое вычисляется относительно просто, затем по формулам (3) определить значения  $\sigma_3$  и  $\sigma_4$ .

С практической точки зрения такой подход позволяет рационально построить координатный процессор при  $t \leq 4$ .

## 2. ТАБЛИЧНЫЙ МЕТОД РЕШЕНИЯ КООРДИНАТНОГО УРАВНЕНИЯ ЧЕТВЕРТОЙ СТЕПЕНИ

Значение  $\sigma_2$  при  $t \leq 4$  равно<sup>/1,3/</sup>

$$\sigma_2 = \frac{S_1^8 + S_1^7 + S_1^5 S_3 + S_3 S_5}{S_1^6 + S_1 S_5 + S_1^3 S_3 + S_3^2},$$

или в сокращенной записи

$$\sigma_2 = \frac{S_1^8 + T + S_1^5 S_3 + S_3 S_5}{R + G + H + L}, \quad (5)$$

где значения  $R, G, H$  и  $L$  вычисляются заранее при определении множественности<sup>/1/</sup>. Так,  $R = S_1^6$ ,  $G = S_1 S_5$ ,  $H = S_1^3 S_3$ ,  $T = S_1 S_7$  и  $L = S_3^2$ .

В дальнейшем с целью упрощения изложения положим, что количество позиционно-чувствительных датчиков в детекторе  $n = 2^m - 1 = 2^6 - 1 = 63$ . Это значит, что мы будем оперировать элементами поля Галуа  $GF(2^6)$ , образованными над неприводимым полиномом  $X^6 + X + 1$ . Таблица 63 ненулевых элементов  $GF(2^6)$  дана в приложении<sup>/1/</sup>. Матрица проверочных соотношений  $H_{63,30}^T$  в сокращенной записи, достаточной для решения примеров, имеет вид

$$H_{63,30}^T \begin{array}{l}
 * \left[ \begin{array}{cccccc}
 100000 & 100000 & 100000 & 100000 & 100000 & \\
 010000 & 000100 & 000001 & 011000 & 000110 & \\
 001000 & 110000 & 000011 & 001010 & 111100 & \\
 000100 & 000110 & 000101 & 110111 & 011100 & \\
 000010 & 101000 & 001111 & 001110 & 011010 & \\
 000001 & 000101 & 010001 & 110100 & 100110 & \\
 & & & & & \vdots \\
 100001 & 100111 & 111111 & 111110 & 111010 & 
 \end{array} \right. \begin{array}{l}
 a^0 \\
 a^1 \\
 a^2 \\
 a^3 \\
 a^4 \\
 a^5 \\
 \\
 a^{62}
 \end{array} \\
 \downarrow \quad \downarrow \quad \downarrow \quad \downarrow \quad \downarrow \\
 S_1 \quad S_3 \quad S_5 \quad S_7 \quad S_9
 \end{array}$$

Символом \* обозначены сработавшие датчики, причем при  $t = 4$  достаточно использовать значения  $S_1, S_3, S_5$  и  $S_7$ . Допустим, что сработали датчики с координатами  $X_1 = a^0, X_2 = a^2, X_3 = a^0$  и  $X_4 = a^5$ . Полностью все 63 элемента поля  $GF(2^6)$  даны в приложении<sup>/1/</sup>. Тогда имеем

$$S_1 = \sigma_1 = X_1 + X_2 + X_3 + X_4,$$

или

$$\begin{array}{r}
 100000 \\
 + 001000 \\
 + 000100 \quad \text{mod } 2 \\
 + 000001 \\
 \hline
 101101
 \end{array}$$

Из приложения<sup>/1/</sup> получим  $101101 = a^{44}$ . Аналогичные вычисления для  $S_3 = X_1^3 + X_2^3 + X_3^3 + X_4^3, S_5 = X_1^5 + X_2^5 + X_3^5 + X_4^5$  и  $S_7 = X_1^7 + X_2^7 + X_3^7 + X_4^7$  дают  $S_3 = a^{46}; S_5 = a^{21};$

и  $S_7 = a^{31}$  (см.  $H_{63,30}^T$ ).

Далее из (5) имеем  $\sigma_2 = a^7$ . Подставляя значение  $\sigma_2$  в равенство (3), получим

$$\sigma_3 = a^{49}, \quad \sigma_4 = a^{10}$$

с учетом значений

$$R_1 = S_1 = \sigma_1 = a^{44}, \quad R_3 = a^{61}, \quad R_5 = a^{43}; \quad R_7 = a^{29}.$$

В результате уравнение (1) при  $t = 4$  имеет вид

$$X^4 + a^{44} X^3 + a^7 X^2 + a^{49} X + a^{10} = 0. \quad (6)$$

Можно проверить, что корнями уравнения (6) являются координаты  $X_1, X_2, X_3$  и  $X_4$ .

#### 4. АЛГОРИТМ ВЫЧИСЛЕНИЯ КООРДИНАТ ПРИ $t = 4$

При  $t = 4$  уравнение имеет вид

$$\sigma(X) = X^4 + \sigma_1 X^3 + \sigma_2 X^2 + \sigma_3 X + \sigma_4. \quad (7)$$

Автором было исследовано два подхода к решению уравнения (7) табличным методом <sup>/2,3/</sup>. Расчеты показали, что при использовании алгоритма, описанного в работе <sup>/3/</sup>, возникают неопределенности при выборе координат квадратных уравнений, получаемых в процессе решения.

Путем подстановки  $X = (1/y + (\sigma_3/\sigma_1))^{1/2}$  получим

$$f(y) = \frac{1}{2} \sigma'_0 y^4 + \sigma'_2 y^2 + \sigma'_3 y + \sigma'_4, \quad (8)$$

где

$$\sigma'_0 = \sigma_3^2/\sigma_1^2 + \frac{\sigma_2\sigma_3}{\sigma_1} + \sigma_4 = A/\sigma_1^2, \quad (9)$$

$$\sigma'_1 = 0$$

$$\sigma'_2 = \sigma_2 + (\sigma_1\sigma_3)^{1/2} = \sigma_2 + \sqrt{\sigma_1 B + \sigma_1^2 \sigma_2}, \quad (10)$$

$$\sigma'_3 = \sigma_1,$$

$$\sigma'_4 = 1.$$

Если ввести еще одну подстановку  $y = (\sigma'_2/\sigma_0)^{1/2} z$ , то получим

$$g(z) = Z^4 + Z^2 + Cz + D, \quad (11)$$

где

$$C = (\sigma_3' \sigma_0^{1/2}) / \sigma_2'^{3/2} = A / \sqrt{\sigma_2^3}, \quad (12)$$

$$D = \sigma_0' / \sigma_2'^2 = A / \sigma_1^2 C_2^2. \quad (13)$$

Поскольку  $t = 4$ , то уравнение (7) должно иметь четыре различных корня, поэтому имеем

$$g(X) = (Z^2 + aZ + \beta_1)(Z^2 + aZ + \beta_2), \quad (14)$$

где

$$a^2 + \beta_1 + \beta_2 = 1,$$

$$a(\beta_1 + \beta_2) = C, \quad (15)$$

$$\beta_1 \beta_2 = D.$$

Из первых двух уравнений получим  $a^3 + a + C = 0$ , которое решается табличным методом, при известных значениях  $a$  и  $\beta$  находятся из равенств

$$\beta_1^2 + C/a \cdot \beta_1 + D = 0; \quad \beta_1^2 + (1 + a^2)\beta_1 + D = 0. \quad (16)$$

Эти квадратные уравнения решаются табличным методом. Поэтому в конечном итоге решения уравнения (7) сводятся также к табличным методам. Продолжим рассмотрение численного примера.

Из формул (9), (12), (13) имеем

$$\sigma_0' = (a^{49})^2 / a^{88} = a^{12}$$

$$\sigma_2' = a^{55}$$

$$C = a^{62}$$

$$D = a^{28}$$

В результате таких промежуточных вычислений получаем уравнение третьей степени

$$a^3 + a + a^{62} = 0.$$

Из таблицы<sup>1/</sup> находим  $\alpha_1 = a^{37}$  и  $\alpha_2 = a^{39}$ . Тогда уравнение (16) можно записать в виде

$$\beta_1^2 + a^{25} \beta_1 + a^{28} = 0. \quad (17)$$

Решения квадратного уравнения (17) дают

$$\beta_1 = a^{13} \quad \text{и} \quad \beta_2 = a^{15}.$$

В результате получаем два квадратичных уравнения для вычисления  $Z_1 \div Z_4$

$$Z^2 + a^{37} Z + a^{13} = 0,$$

$$Z^2 + a^{37} Z + a^{15} = 0,$$

и далее

$$y_1 = a^{32}; \quad y_2 = a^{26}; \quad y_3 = a^{61} \quad \text{и} \quad y_4 = a^{53},$$

$$X_1 = a^0; \quad X_2 = a^3; \quad X_3 = a^5 \quad \text{и} \quad X_4 = a^2.$$

Полученные значения  $X_1$  соответствуют координатам сработавших позиционно-чувствительных датчиков.

На рис. 1 приведена блок-схема координатного процессора для  $t = 4$ . Схема составлена таким образом, чтобы для вычисления соответствующих промежуточных значений можно было применить ППЗУ, имеющие 2ш входов для переменных. Кроме того, здесь также эффективно используется метод выполнения совмещенных операций в поле Галуа  $GF(2^m)$ . Например, такие выражения, как  $(C_3/C_1)^{1/2}$  и  $(C_2/C_0)^{1/2}$ , вычисляются соответственно с помощью одного ППЗУ. Максимальное время решения уравнения четвертой степени можно вычислить из формулы

$$T_4 = 9T_{\text{ППЗУ}} + T_2 + T_3 + 2T_c,$$

где  $T_{\text{ППЗУ}}$  — задержка в ППЗУ,  $T_2$  и  $T_3$  — время решения квадратного и кубического уравнений соответственно,  $T_c$  — время суммирования по модулю два.

Если применить микросхемы 500 серии, то время решения  $T_4$  составит  $\approx 320$  нс.

## ТАБЛИЧНЫЙ МЕТОД РЕШЕНИЯ КООРДИНАТНОГО УРАВНЕНИЯ ПЯТОЙ СТЕПЕНИ

Координатное уравнение пятой степени имеет вид

$$\sigma(X) = X^5 + \sigma_1 X^4 + \sigma_2 X^3 + \sigma_3 X^2 + \sigma_4 X + \sigma_5, \quad (18)$$

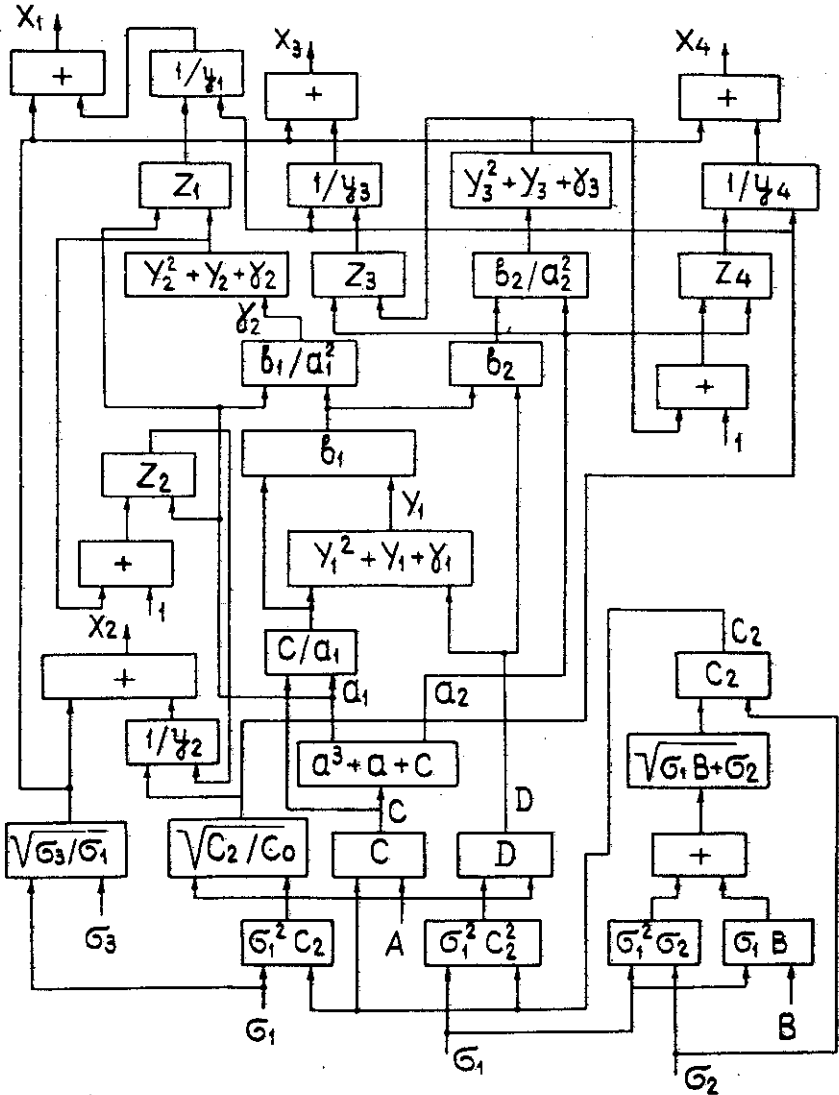


Рис. 1. Блок-схема решения координатного уравнения четвертой степени в поле Галуа  $GF(2^m)$ .

где значение  $\sigma_2$  при  $t = 5$ , вычисленное из (2), равно

$$\sigma_2 = \frac{S_5 S_7 + S_1^2 S_5^2 + S_1 S_3^2 S_5 + S_1^7 S_5 + S_1^4 S_3 S_5 + S_1^3 S_9 + S_1^5 S_7 + S_3 S_9 + S_1^{16} + S_1^6 S_3^2}{S_3 S_7 + S_1^2 S_3 S_5 + S_1 S_3^3 + S_1^7 S_3 + S_7 S_1^3 + S_1^5 S_5 + S_1^{10} + S_5^2}$$



Методом трансформации переменных<sup>/1/</sup> получены следующие соотношения для  $\sigma_3, \sigma_4$  и  $\sigma_5$  при известном  $\sigma_2$  ( $\sigma_1 = S_1$ ):

$$\sigma_3 = R_3 + R_1 \sigma_2; \quad \sigma_4 = \frac{R_7 + R_5 \sigma_2}{R_3}; \quad \sigma_5 = R_5 + R_3 \sigma_2 + R_1 \sigma_4.$$

Путем подстановки  $X = y + v$  уравнение (18) приводится к виду

$$f(y) = y^5 + \sigma y^3 + Hy^2 + Iy + r,$$

$$G = \sigma_2; \quad H = \sigma_1 \sigma_2 + \sigma_3; \quad I = \sigma_1 \sigma_2 + \sigma_4; \quad r = \sigma_1^5 + \sigma_1^2 \sigma_3 + \sigma_1 \sigma_4 + \sigma_5. \quad (19)$$

Если равенство имеет пять различных корней, то его можно представить в виде

$$f(y) = (y^3 + vy^2 + by + c)(y^2 + vy + d),$$

где

$$G = v^2 + b + d; \quad H = vd + vb + c; \quad I = bd + vc;$$

$$J = cd.$$

Более детально аппаратный метод решения уравнения пятой степени см. в<sup>/2/</sup>.

## ГИБРИДНЫЙ МЕТОД РЕШЕНИЯ КООРДИНАТНОГО УРАВНЕНИЯ ПРИ $t > 5$

Табличные методы решения координатного уравнения (1) при  $t > 5$  автору неизвестны. Для решения полиномов, степень которых превосходит шесть, в работе<sup>/2/</sup> описан гибридный метод, который предлагается использовать для нахождения координат позиционно-чувствительных детекторов. Рассматриваемый метод базируется на следующей теореме "Об орбите", доказательство которой приводится в<sup>/2/</sup>.

**Теорема.** Пусть имеются полиномы  $\sigma(X)$  и  $\sigma'(X)$  над полем  $GF(2^m)$ :

$$\sigma(X) = X^t + \sigma_1 X^{t-1} + \sigma_2 X^{t-2} + \dots + \sigma_t, \quad (20)$$

$$\sigma'(X) = X^t + \sigma_1^2 X^{t-1} + \sigma_2^2 X^{t-2} + \dots + \sigma_t^2. \quad (21)$$

Если  $\beta$  — элемент расширения поля  $GF(2^m)$ , то  $\beta$  есть корень полинома  $\sigma(X)$  тогда и только тогда, когда  $\beta^2$  есть корень  $\sigma'(X)$ . Суть теоремы и ее практическое применение рассмотрим на конкретном примере.

Причем с целью упрощения изложения рассматриваем полином пятой степени

$$\sigma(X) = X^5 + a^{40} X^4 + a^{56} X^3 + a^{36} X^2 + a^2 X + a^{11}. \quad (22)$$

Тогда

$$\sigma(X) = X^5 + a^{17} X^4 + a^{49} X^3 + a^9 X^2 + a^4 X + a^{22}. \quad (23)$$

в соответствии с теоремой "Об орбите", поскольку  $\sigma(X)$  и  $\sigma'(X)$  имеют по крайней мере один общий корень. Поэтому у них должен быть наиболее общий делитель (НОД), степень которого отлична от нуля. В соответствии с алгоритмом Евклида НОД полиномов (22) и (23) равен

$$f(X) = a^{20} X^2 + a^{32} X + a^{22}. \quad (24)$$

Полином  $f(X)$  получен путем деления полинома (22) на полином (23), в поле Галуа  $GF(2^6)$ .

Как нетрудно проверить, корнями полинома (24) являются элементы поля  $GF(2^6)$   $a^0$  и  $a^2$ . Так, при  $X_1 = a^0$  имеем

$$a^{20} + a^{32} + a^{22} = 0.$$

Далее, разделив полином (22) на полином (24), получим

$$\begin{aligned} P(X) &= X^3 a^{43} + X^2 a^{33} + a^{36} X + a^{52} = \\ &= X^3 + a^{53} X^2 + a^{56} X + a^9. \end{aligned} \quad (24')$$

Корни уравнения (24), как известно, решаются методами табличной арифметики. Таким образом, для решения координатных уравнений степени более чем пять гибридным способом необходимо создание быстродействующего специализированного процессора для вычисления НОД и деления в поле Галуа  $GF(2^6)$ .

## ПОСЛЕДОВАТЕЛЬНЫЙ МЕТОД РЕШЕНИЯ КООРДИНАТНОГО УРАВНЕНИЯ В ОБЩЕМ ВИДЕ

Для нахождения координат сработавших позиционно-чувствительных детекторов по методу Питерсона наряду с вычислением значений требуется  $t$  схем умножения (в возведения в степени переменных с последующим анализом равенства (1) на "о").

В работе<sup>7/</sup> с целью упрощения декодирования БЧХ-кодов предложен более экономичный алгоритм для решения координатного уравнения (1), в котором эффективно используется циклический характер по-

ля Галуа. Чаще всего значения  $\sigma_t$  выражаются через значения  $S_j$ . Однако известны и другие представления  $\sigma_t$  через корни  $\beta_j$  уравнения (1)

$$\sigma_1 = \sum_{j=1}^t X_j,$$

$$\sigma_2 = \sum_{\substack{j,k=1 \\ j < k}}^t X_j \cdot \beta_k, \quad \sigma_3 = \sum_{i,j,k=1}^t \beta_i \beta_j \beta_k. \quad (25)$$

Так, при  $t = 3$ , имеем

$$\sigma_1 = X_1 + X_2 + X_3, \quad \sigma_2 = X_1 X_2 + X_1 X_3 + X_2 X_3; \quad \sigma_3 = X_1 X_2 X_3. \quad (26)$$

Основным свойством равенств (26) является то, что их значение не зависит от того, какую координату  $X_1$ ,  $X_2$  и  $X_3$  следует считать первой, второй или третьей, так как существенным является не порядок индексов  $X_j$ , а их значение. Например, если  $X_1 = a^0$ ,  $X_2 = a^1$  и  $X_3 = a^2$  в поле  $GF(2^4)$ , то значение  $\sigma_1 \div \sigma_3$  не изменяется при перестановке индексов 1, 2 и 3 в значениях  $X_1 \div X_3$ . Такое свойство  $\sigma_t$  положено за основу описываемого алгоритма.

Путем трансформации  $X_j = a X_j$  получаем следующее уравнение

$$\sigma(X) = X^t + \tilde{\sigma}_1 X^{t-1} + \tilde{\sigma}_2 X^{t-2} + \dots + \tilde{\sigma}_t, \quad (27)$$

где

$$\tilde{\sigma}_k = a^k \sigma_k, \quad k = 1, 2, \dots, t. \quad (28)$$

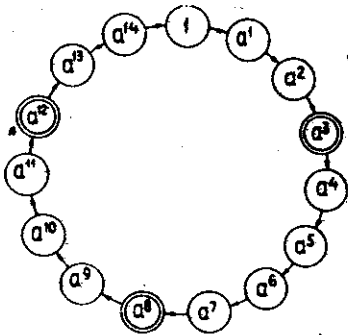
В общем виде после  $r$  трансформаций ( $r$  — число циклических сдвигов) получим

$$\tilde{X}_j = a^r X_j, \quad j = 1, 2, \dots, t,$$

$$\tilde{\sigma}_k = a^{rk} \sigma_k, \quad k = 1, 2, \dots, t. \quad (29)$$

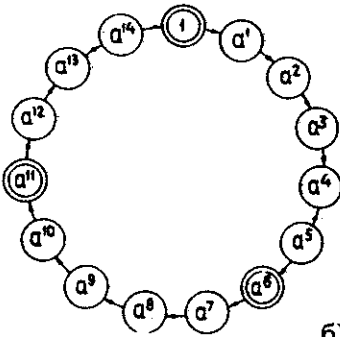
Следует отметить, что в поле Галуа  $GF(2^m)$   $a^n = 2^m - 1$ , и поэтому после циклических  $2^m - 1$  сдвигов получается степень исходного элемента. Например, элемент  $a^{19}$  в поле  $GF(2^4)$  ( $n = 15$ ) равен  $a^{15} \cdot a^4 = a^4$ .

На рис. 2 приведены значения корней уравнений  $X^3 + aX^2 + a^{14}X + a^8$ , которые показаны в концентрических окружностях до сдвигов и после двух сдвигов соответственно. Для наглядности рассмотрим конкретный пример. Пусть  $n = 2^4 - 1 = 15$ , т.е.  $m = 4$ , и работали датчики с координатами  $X_1 = a^3$ ,  $X_2 = a^8$  и  $X_3 = a^{12}$ , как это показано на рис. 3, где  $\sigma_1 = S_1 = X_1 = a^3$ ,  $\sigma_2 = a^{14}$  и  $\sigma_3 = a^{8/8}$ . Алгоритм на-



а)

Рис. 2. Корни уравнения  $X^3 + a^1 X^2 + a^{14} X + a^8$  в поле Галуа  $GF(2^m)$  до трансформации (слева, в concentрических окружностях) и после трех циклических сдвигов (справа).



б)

Рис. 3. Матрица проверочных соотношений для БЧХ-кода, исправляющего  $t = 3$  ошибки для  $t = 4$  и  $t = 15$ . Знаком \* отмечены сработавшие датчики.

		Датчики			
$H^T$	$\alpha^0$	1	1000	1000	1000
	$\alpha^1$	2	0100	0001	0110
	$\alpha^2$	3	0010	0011	1110
	$\alpha^3$	* 4	0001	0101	1000
	$\alpha^4$	5	1100	1111	0110
	$\alpha^5$	6	0110	1000	1110
	$\alpha^6$	7	0011	0001	1000
	$\alpha^7$	8	1101	0011	0110
	$\alpha^8$	* 9	1010	0101	1110
	$\alpha^9$	10	0101	1111	1000
	$\alpha^{10}$	11	1110	1000	0110
	$\alpha^{11}$	12	0111	0001	1110
	$\alpha^{12}$	* 13	1111	0011	1000
	$\alpha^{13}$	14	1011	0101	0110
	$\alpha^{14}$	15	1001	1111	1110
		+	0001	0101	1000
		+	1010	0101	1110
		+	1111	0011	1000
		$S_1 =$	0100	$S_3 =$ 0011	$S_5 =$ 1110

хождение корней уравнения (1) заключается в следующем. Допустим, что один из корней этого уравнения равен  $a^0 = 1$ . Тогда имеем

$$\sigma(1) = 1 + \sigma_1 + \sigma_2 + \dots + \sigma_t = 0,$$

и далее

$$\sum_{k=1}^t \sigma_k = \sigma_1 + \sigma_2 + \dots + \sigma_t = 1.$$

Например, при  $t = 3$   $\sigma_1 + \sigma_2 + \sigma_3 = 1$ , ( $a^0 = 1 = X_1$ ).

Если же корень  $X_1$  не равен единице, например,  $X_1 = a^{12}$ , то путем последовательных умножений на  $a'$ , получаем  $a^{12} a^1 a^1 a^1 = a^0 = 1$ .

Это значит, что степень корня  $X_1$  равна  $15 - 3 = 12$ , а значение корня  $X_1$  равно  $a^{12}$ . При каждом  $t = 3$  в каждом такте необходимо умножать  $\sigma_1$  на  $a^1$ ,  $\sigma_2$  на  $a^2$ ,  $\sigma_3$  на  $a^3$  и проверять выполнение соотношения (30). Если это равенство равно 1, то степень корня равна 15 минус число тактов трансформации. Рассмотрим таблицу.

	$\sigma_1$	$\sigma_2$	$\sigma_3$
Начальное состояние	$a^1$	$a^{14}$	$a^8$
После первого шага	$a^2$	$a^{16} = a^1$	$a^{11}$
После второго шага	$a^3$	$a^3$	$a^{14}$
После третьего шага	$a^4$	$a^5$	$a^{17} = a^2$

Проверяем равенство (30):

$$\begin{array}{r}
 1100 \\
 0110 \\
 a^4 + a^5 + a^2 = 0010 \pmod{2} . \\
 \hline
 1000
 \end{array}$$

В результате получаем, что степень одного из корней равна  $15 - 3 = 12$  и т.д.

Таким образом, наряду с простотой устройства, определяющего степени корней координатного уравнения, одновременно получаются логарифмы значений корней  $X_j$ , или, попросту, получаются двоичные коды степеней, что позволяет использовать эти данные в специализированных процессорах для дальнейших вычислений.

## ЗАКЛЮЧЕНИЕ

Как показала практика<sup>9/</sup>, метод синдромного кодирования является мощным и эффективным инструментом для создания различного рода устройств, предназначенных для сжатия и обработки данных в спектрометрах физики высоких энергий. При этих относительно небольших значениях множественности  $1 \leq t \leq 5$  имеется возможность для вычисления значения  $t$  и координат сработавших датчиков  $X_j$  использовать быстродействующие ППЗУ. При  $t \geq 5$  можно использовать гибридный метод решения уравнений в поле Галуа  $GF(2^m)$ .

Поскольку неизвестны быстрые процессоры для нахождения НОД двух полиномов, для понижения степени полинома более предпочтительным можно считать метод<sup>2/</sup>, основанный на свойствах поля Галуа  $GF(2^m)$ .

#### ЛИТЕРАТУРА

1. Никитюк Н.М. — ОИЯИ, P10-88-853, Дубна, 1988.
2. Chien R.T., Cunningham B.D. — IEEE Trans. on Inf. Theory, 1969, v.IT-15, No.2, p.329.
3. Okano H., Imai H. — IEEE Trans. on Comput., 1987, v.C-36, No.10, p.1165.
4. Berlekamp E.R. — IEEE Trans. on Inform. Theory., 1965, v.IT-11, No.4, p.577.
5. Питерсон У., Уэлдон Э. — Коды, исправляющие ошибки. М.:Мир, 1976, с.332.
6. Nikitjuk N.M., Radzabov R.S., Schafranov M.D. — NIM, 1978, v.155, p.485.
7. Chien R.T. — IEEE Trans. on Inf. Theory, 1964, v.IT-10, No.4, p.357.
8. Никитюк Н.М. — ОИЯИ, P10-87-254, Дубна, 1987.
9. Gustafsson L., Hagberg E. — NIM, 1988, v.A265, p.521.

Рукопись поступила в издательский отдел  
12 января 1989 года.